

**ВЛИЯНИЕ МАГНИТНОГО ПОЛЯ НА РАСПРЕДЕЛЕНИЕ  
ТЕМПЕРАТУРЫ В ТЕЧЕНИИ КУЭТТА В АНИЗОТРОПНОЙ  
МАГНИТНОЙ ГИДРОДИНАМИКЕ**

**B. B. Баранов**

(Москва)

Исследуется влияние анизотропии электропроводности и теплопроводности на распределение температуры в течении Куэтта между параллельными пластинами. Газ считается полностью ионизованным и вводится предположение о его несжимаемости. Рассмотрены два случая: магнитное поле перпендикулярно к пластинам и магнитное поле параллельно пластинам, но перпендикулярно к постоянной скорости верхней пластины.

**Обозначения**

$v_x, v_y$ — составляющие скорости по соответствующим осям координат,	$T_0$ — характерная температура,
$H_x, H_y$ — составляющие индуцированного магнитного поля,	$\lambda$ — коэффициент теплопроводности в отсутствие магнитного поля,
$j_x, j_y$ — составляющие плотности тока,	$T_\infty$ — температура верхней пластины,
$p$ — давление газа,	$c_p$ — теплоемкость газа при постоянном давлении,
$T$ — температура газа,	$\omega_2$ — циклотронная частота вращения ионов,
$\sigma$ — электропроводность в отсутствие магнитного поля,	$\tau_2$ — время «свободного пробега» ионов,
$c$ — скорость света,	$R_m$ — магнитное число Рейнольдса,
$\eta$ — коэффициент вязкости,	$k$ — постоянная Больцмана,
$M$ — число Гартмана,	$e$ — величина заряда электрона,
$\omega_1$ — циклотронная частота вращения электронов,	$K$ — параметр, характеризующий величину отношения членов с джоулевой диссипацией к членам, связанным с эффектами Томсона и Эттингсхаузена.
$\tau_1$ — время «свободного пробега» электронов,	
$E$ — вектор напряженности электрического поля,	
$P$ — число Прандтля,	

**§ 1. Течение Куэтта. Магнитное поле перпендикулярно к пластинам.** Рассмотрим течение полностью ионизованного газа между двумя параллельными пластинами, возникающее вследствие движения верхней пластины вдоль направления оси  $x$  с постоянной скоростью  $U$ . Нижняя пластина неподвижна и лежит в плоскости  $yx$ , а верхняя — в плоскости  $z = h$ . Приложенное магнитное поле  $H_z = H_0$  постоянно и направлено вдоль оси  $z$ . Все параметры считаем зависящими только от координаты  $z$ .

Предположим, что газ несжимаем,  $\sigma, \eta$  — постоянные величины, а циклотронная частота вращения ионов мала по сравнению с частотой их «согласий» ( $\omega_2 \tau_2 \ll 1$ ). Тогда решение поставленной задачи для скорости и индуцированного магнитного поля можно получить из системы уравнений (1.4) — (1.7) в работе [1], если положить  $\partial p / \partial x = \text{const} = 0$ .

Используя для нашей задачи граничные условия

$$v_x = v_y = H_x = H_y = 0 \quad \text{при } z = 0$$

$$v_x = U, \quad \frac{4\pi}{c} j_x = -\frac{dH_y}{dz} = \frac{4\pi\sigma}{c^2} \frac{aH_0}{1 + a^2H_0^2} U H_0 \quad \text{при } z = h$$

$$v_y = 0, \quad \frac{4\pi}{c} j_y = \frac{dH_x}{dz} = -\frac{4\pi\sigma}{c^2} \frac{1}{1 + a^2H_0^2} U H_0 \quad \text{при } z = h$$

решение получим в виде

$$v_x = U \frac{\cos \beta \operatorname{sh} \alpha \cos \beta z^* \operatorname{sh} \alpha z^* + \sin \beta \operatorname{ch} \alpha \sin \beta z^* \operatorname{ch} \alpha z^*}{\operatorname{sh}^2 \alpha + \sin^2 \beta} \quad (1.1)$$

$$v_y = U \frac{\cos \beta \operatorname{sh} \alpha \sin \beta z^* \operatorname{ch} \alpha z^* - \sin \beta \operatorname{ch} \alpha \cos \beta z^* \operatorname{sh} \alpha z^*}{\operatorname{sh}^2 \alpha + \sin^2 \beta} \quad (1.2)$$

$$\begin{aligned} H_x &= \frac{4\pi\eta U}{H_0 h} \left[ \frac{(\beta \cos \beta \operatorname{sh} \alpha - \alpha \sin \beta \operatorname{ch} \alpha) \sin \beta z^* \operatorname{sh} \alpha z^*}{\operatorname{sh}^2 \alpha + \sin^2 \beta} + \right. \\ &\quad \left. + \frac{(\alpha \cos \beta \operatorname{sh} \alpha + \beta \sin \beta \operatorname{ch} \alpha) (1 - \cos \beta z^* \operatorname{ch} \alpha z^*)}{\operatorname{sh}^2 \alpha + \sin^2 \beta} \right] \end{aligned} \quad (1.3)$$

$$\begin{aligned} H_y &= -\frac{4\pi\eta U}{H_0 h} \left[ \frac{(\beta \sin \beta \operatorname{ch} \alpha + \alpha \cos \beta \operatorname{sh} \alpha) \sin \beta z^* \operatorname{sh} \alpha z^*}{\operatorname{sh}^2 \alpha + \sin^2 \beta} + \right. \\ &\quad \left. + \frac{(\alpha \sin \beta \operatorname{ch} \alpha - \beta \cos \beta \operatorname{sh} \alpha) (1 - \cos \beta z^* \operatorname{ch} \alpha z^*)}{\operatorname{sh}^2 \alpha + \sin^2 \beta} \right] \end{aligned} \quad (1.4)$$

Здесь

$$\begin{aligned} z^* &= \frac{z}{h}, \quad \alpha = \frac{M}{\sqrt{1+a^2 H_0^2}} \left( \frac{\sqrt{1+a^2 H_0^2} + 1}{2} \right)^{1/2} \\ \beta &= \frac{M}{\sqrt{1+a^2 H_0^2}} \left( \frac{\sqrt{1+a^2 H_0^2} - 1}{2} \right)^{1/2}, \quad M = \frac{H_0 h}{c} \sqrt{\frac{\sigma}{\eta}} \\ a &= \frac{\omega_1 \tau_1}{H}, \quad H = \sqrt{H_x^2 + H_y^2 + H_0^2} \end{aligned}$$

В пределе при  $\omega_1 \tau_1 \rightarrow 0$  из (1.1) — (1.4) получим решение задачи о течении Күэтта для несжимаемой жидкости в магнитной гидродинамике, приведенное, например, в работе [2].

Решение задачи о течении Күэтта между коаксиальными цилиндрами при произвольных  $\omega_1 \tau_1$  в предположении малости магнитного числа Рейнольдса ( $R_m \ll 1$ ) приведено в работе [3].

Формулы (1.1), (1.2) дают решение плоской задачи Күэтта при  $R_m \ll 1$ , если в них положить  $aH_0 = \omega_1 \tau_1$ . Из уравнения энергии [4] для рассматриваемой задачи будем иметь ( $E_x = E_y = 0$ )

$$\lambda \frac{d^2 T}{dz^2} + \eta \left[ \left( \frac{dv_x}{dz} \right)^2 + \left( \frac{dv_y}{dz} \right)^2 \right] + \frac{H_0}{c} (j_x v_y - j_y v_x) = 0$$

Здесь и в дальнейшем считаем, что индуцированными магнитными полями можно пренебречь ( $R_m \ll 1$ ).

Подставляя в последнее уравнение выражения для плотности тока

$$j_x = \frac{\sigma H_0}{c (1 + \omega_1^2 \tau_1^2)} (\omega_1 \tau_1 v_x + v_y), \quad j_y = \frac{\sigma H_0}{c (1 + \omega_1^2 \tau_1^2)} (\omega_1 \tau_1 v_y - v_x)$$

и переходя к безразмерному виду, получим

$$\frac{d^2 T^*}{dz^{*2}} + P \frac{U^2}{c_p T_0} \left[ \frac{M^2}{1 + \omega_1^2 \tau_1^2} (v_x^{*2} + v_y^{*2}) + \left( \frac{dv_x^*}{dz^*} \right)^2 + \left( \frac{dv_y^*}{dz^*} \right)^2 \right] = 0$$

Здесь

$$v_x^* = \frac{v_x}{U}, \quad v_y^* = \frac{v_y}{U}, \quad T^* = \frac{T}{T_0}, \quad P = \frac{\eta c_p}{\lambda}$$

Используя (1.1), (1.2), уравнение энергии перепишем в виде

$$\begin{aligned} \frac{d^2 T^*}{dz^{*2}} + P \frac{U^2}{c_p T_0} \frac{M^2}{(1 + \omega_1^2 \tau_1^2) (\operatorname{sh}^2 \alpha + \sin^2 \beta)} [\operatorname{sh}^2 \alpha z^* + \sin^2 \beta z^* + \\ + \sqrt{1 + \omega_1^2 \tau_1^2} (\operatorname{sh}^2 \alpha z^* + \cos^2 \beta z^*)] = 0 \end{aligned}$$

Решение этого уравнения запишется

$$T^* = -P \frac{U^2}{2c_p T_0} \frac{\sin^2 \alpha z^* + \sin^2 \beta z^*}{\sin^2 \alpha + \sin^2 \beta} + C_1 z^* + C_2$$

Здесь  $C_1$  и  $C_2$  — постоянные интегрирования.

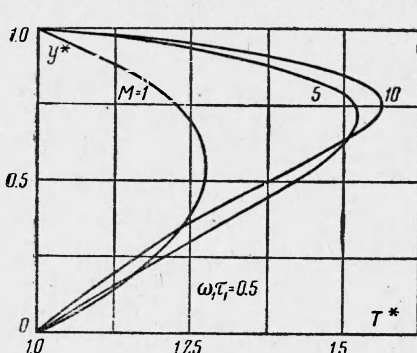
При граничных условиях

$$T^* = 1 \quad \text{при } z^* = 0, \quad T^* = \frac{T_\infty}{T_0} \quad \text{при } z^* = 1$$

получим

$$T^* = \frac{PU^2}{2c_p T_0} \left( z^* - \frac{\sin^2 \alpha z^* + \sin^2 \beta z^*}{\sin^2 \alpha + \sin^2 \beta} \right) + \left( \frac{T_\infty}{T_0} - 1 \right) z^* + 1 \quad (1.5)$$

Отсюда легко видеть, что значение производной



Фиг. 1

уменьшается за счет торможения в магнитном поле, увеличение  $\omega_1 t_1$  при фиксированном  $M$  приводит к увеличению градиента скорости на нижней пластине за счет уменьшения токов вдоль оси  $y$ . При  $\omega_1 t_1 \rightarrow \infty$  профиль скорости  $v_x$  стремится к линейному ( $v_y \rightarrow 0$  при  $\omega_1 t_1 \rightarrow \infty$ ).

**§ 2. Течение Куэтта.** Магнитное поле параллельно пластинам и перпендикулярно к скорости верхней пластины. Предположим теперь, что нижняя пластина лежит в плоскости  $xz$ , а верхняя — в плоскости  $yh$  и движется с постоянной скоростью  $U$  вдоль оси  $x$ . Магнитное поле задано ( $R_m \ll 1$ ), постоянно и направлено вдоль оси  $z$  ( $H_z = H_0$ ). Совместное решение уравнений движения и обобщенного закона Ома можно получить из соответствующих решений в работе [5], если в них положить  $\omega_2 t_2 = 0$ . Тогда решение примет вид

$$v_x = U \frac{y}{h} + \frac{j_y H_0 h}{2c\eta} y \left( 1 - \frac{y}{h} \right) \quad (2.1)$$

$$\frac{dp}{dy} = -\frac{1}{c} j_x H_0, \quad j_x = -\omega_1 t_1 j_y \quad (2.2)$$

$$j_y = \frac{\sigma}{1 + 1/2 \omega_1^2 t_1^2} \left( E_y - \frac{1}{c} v_x H_0 \right) = \text{const} \quad (2.3)$$

Так как магнитное поле направлено вдоль оси  $z$ , то все параметры считаются зависящими только от  $y$ .

Для случая хорошо проводящих пластин, когда их сопротивлением можно пренебречь по сравнению с сопротивлением газа, для плотности тока  $j_y$  получим выражение

$$j_y = -\frac{\sigma U H_0}{2c(1 + 1/2 \omega_1^2 t_1^2)} \left[ 1 + \frac{\sigma H_0^2 h^2}{12c^2 \eta (1 + 1/2 \omega_1^2 t_1^2)} \right]^{-1} \quad (2.4)$$

Уравнение энергии для рассматриваемой задачи будет иметь вид

$$\lambda \kappa \frac{d^2 T}{dy^2} + \eta \left( \frac{dv_x}{dy} \right)^2 + \frac{(1 + 1/2\omega_1^2\tau_1^2)}{\sigma} j_y^2 + \frac{d}{dy} (\lambda \iota' j_y) + \frac{d}{dy} (\lambda \dot{\omega}_1 \tau_1 \iota'' j_x) = 0 \quad (2.5)$$

Здесь

$$\begin{aligned} \kappa &= (1.47\omega_1^2\tau_1^2 + 3.77) \Delta_1, & \iota' &= (1.58\omega_1^4\tau_1^4 + 26.6\omega_1^2\tau_1^2 + 7.66) \frac{TH_0\Delta_1}{\omega_1\tau_1 P c} \\ \iota'' &= (0.949\omega_1^2\tau_1^2 + 1.93) \frac{TH_0\Delta_1}{\omega_1\tau_1 P c}, & \frac{1}{\Delta_1} &= \omega_1^4\tau_1^4 + 14.79\omega_1^2\tau_1^2 + 3.77 \end{aligned} \quad (2.6)$$

Эти формулы получаются из соответствующих формул в работе [4] при  $\omega_2\tau_2 = 0$ .

Два последних члена в (2.5) определяют влияние эффектов Томсона и Эттингхсаузена на распределение температуры в куэттовском течении.

Используя (2.1) — (2.3), (2.6), из уравнения (2.5) получим

$$\begin{aligned} \lambda \kappa \frac{d^2 T}{dy^2} + 1.58 \frac{k_i}{e} j_y \frac{0.631\omega_1^4\tau_1^4 + 24.7\omega_1^2\tau_1^2 + 7.66}{\omega_1^4\tau_1^4 + 14.79\omega_1^2\tau_1^2 + 3.77} \frac{dT}{dy} + \\ + \eta \left[ \frac{U}{h} + \frac{j_y H_0 h}{2c\eta} \left( 1 - 2 \frac{y}{h} \right) \right]^2 + \frac{1 + 1/2\omega_1^2\tau_1^2}{\sigma} j_y^2 = 0 \end{aligned} \quad (2.7)$$

Решение уравнения (2.7) при граничных условиях

$$T = T_0 \quad \text{при } y = 0, \quad T = T_\infty \quad \text{при } y = h$$

в безразмерном виде будет иметь вид

$$T^* = - \left( l_1 + l_2 + l_3 + 1 - \frac{T_\infty}{T_0} \right) \frac{e^{-l_4 y^*} - 1}{e^{-l_4} - 1} + (l_1 y^{*2} + l_2 y^* + l_3) y^* + 1 \quad (2.8)$$

Здесь введены обозначения

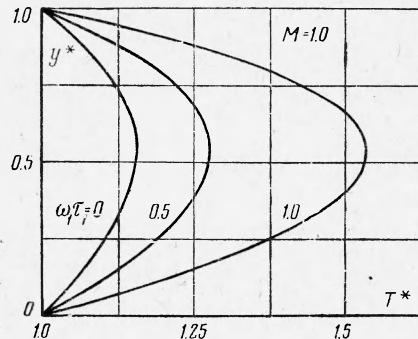
$$\begin{aligned} T^* &= \frac{T}{T_0}, & y^* &= \frac{y}{h}, & l_1 &= \frac{LK}{3 \cdot 1.58 f} \\ l_2 &= \frac{K}{1.58 f} \left( 1 - \frac{1}{2} L \right) + \frac{\kappa}{P} \frac{c_p T_0}{U^2} \frac{K^2}{(1.58 f)^2} \\ l_3 &= \frac{K}{1.58 f} \left( \frac{0.5}{1 + 1/12 M^{\circ 2}} - 1 + \frac{1}{4} L + \frac{1}{L} \right) + \\ &+ \frac{2K^2}{(1.58 f)^2 P} \frac{\kappa}{U^2} \frac{1}{L} \left( 1 - \frac{1}{2} L + \frac{K}{1.58 f} \frac{\kappa}{P} \frac{c_p T_0}{U^2} \right) \\ l_4 &= - \frac{1.58 f}{K} \frac{P}{\kappa} \frac{U^2}{c_p T_0} L, & K &= \frac{e U H_0 h}{c k T_0} \\ M^\circ &= \frac{M}{\sqrt{1 + 0.5\omega_1^2\tau_1^2}}, & L &= \frac{1/2 M^{\circ 2}}{1 + 1/12 M^{\circ 2}}, & f &= \frac{0.631\omega_1^4\tau_1^4 + 24.7\omega_1^2\tau_1^2 + 7.66}{\omega_1^4\tau_1^4 + 14.79\omega_1^2\tau_1^2 + 3.77} \end{aligned}$$

На фиг. 1—3 приведены профили температуры при различных значениях параметров  $M$ ,  $\omega_1\tau_1$  и  $K$ . Расчеты были проведены по формуле (2.8) при  $P U^2 / c_p T_0 = T_\infty / T_0 = 1$ . Из фиг. 1 видно, что увеличение числа  $M$  приводит к уменьшению градиента температуры около неподвижной пластины, с увеличением параметра  $\omega_1\tau_1$  при фиксированном  $M$  градиент температуры, как видно из фиг. 2, возрастает. На фиг. 3 приведены графики, иллюстрирующие влияние членов, связанных с эффектами Томсона и Эттингхсаузена.

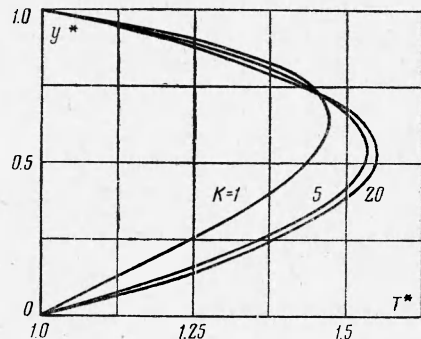
Из формулы (2.1), которую можно переписать при использовании (2.4) в виде

$$v_x = U \left[ y^* - \frac{1}{4} \frac{M^{\circ 2}}{1 + 1/12 M^{\circ 2}} y^* (1 - y^*) \right] \quad (2.9)$$

следует, что при малых значениях  $M$  профиль скорости близок к линейному. С увеличением  $M$  профиль скорости искривляется так, что градиент скорости на нижней пластине уменьшается, обращаясь в нуль при



Фиг. 2



Фиг. 3

$M^{\circ} = \sqrt{6}$ . Из (2.9) также следует, что при  $\omega_1 \tau_1 \rightarrow \infty$  ( $M$  — фиксировано) профиль скорости также стремится к линейному.

Поступила 13 IX 1962

#### ЛИТЕРАТУРА

- Баранов В. Б. Установившееся течение ионизованного газа в плоском канале с учетом анизотропии проводимости. Изв. АН СССР, ОТН, Механика и машиностроение, 1964, № 3.
- Блевисс Ц. Магнитогазодинамика гиперзвукового течения Куэтта. Механика. ИЛ, 1959, № 3.
- Чекмарев И. Б. Влияние анизотропии проводимости на стационарное течение несжимаемого вязкого ионизованного газа между коаксиальными цилиндрами при наличии магнитного поля. Науч.-техн. информац. бюлл. Ленингр. политехн. ин-т им. М. И. Калинина, 1960, № 7.
- Баранов В. Б. К выводу уравнений анизотропной магнитной гидродинамики. ПММ, 1962, XXVI, вып. 6.
- Губанов А. И., Лунькин Ю. П. Куэттовское течение в магнитной плазмодинамике. ЖТФ, 1960, т. XXX, вып. 9.